

地中埋設管応力算定式に関する評価

豊橋技術科学大学 正員 栗林 肇一 正員 河邑 真
豊橋技術科学大学 正員 由井 千三 ○学生員 山中 司信

1. まえがき

地中埋設管に生ずる応力ならびに作用する土圧については、48年9月に通産・運輸・建設・各省告示第一号「石油パイプライン事業の事業用施設の技術上の基準の細目を定めると告示」(以下、「技術基準」と呼ぶ)における地中埋設管に關係する事項で、それらの算定方法が石油パイプラインのような剛性管に関して規定された。そこでそれらの方法および他の他の算定方法について、ゆみ性管についての応力算定式の評価をすべく、地中埋設管にゆみ性管である塩化ビニルパイプを用ひてフィールド埋設試験を行つたものである。

2. 試験概要

長さ15mまたは30mの管体をFig.-1. のように60, 120, 200cmの深さに3本埋設し供試管には硬質塩化ビニル管(VP300, 31.8φ, t=16.2mm, E=29700kgf/cm²)を用ひ、1) 埋めもどし時、2) 水圧加圧時、3) 20tonトラックによる載荷を行ひ、それらの場合につけて管体に作用する土圧、管体に生ずる歪等の計測を行つた。

フィールド試験場は豊橋技術科学大学校庭であり、地盤特性はFig.-2. に示すように表層から6mまではシルト質細砂を以て深より10mまでは粘土質砂で、N値は深さ10mより浅い地盤では10以下である。その地盤にFig.-3. に示す構造を掘り、管頂より上10cmまでは埋めもどし土に砂を用ひ突き固めた後、それより上の部分は掘りあこした土を埋めもどし土に用ひ20cm毎にランマーで突き固めた。また、埋設深さ200cmのものについては矢板掘削し埋めもどしが管頂より110cmに達したところを引き抜いた。なお、埋めもどし土の单位体積重量は1.76t/m³であった。

3. 試験結果および計算値

管に作用する土圧

地中埋設管に作用する土圧計算方法について、管と土の相対変形を考慮したもののはMarstonの理論より導かれる。Fig.-3. に示す溝型の場合の土圧計算式につけては

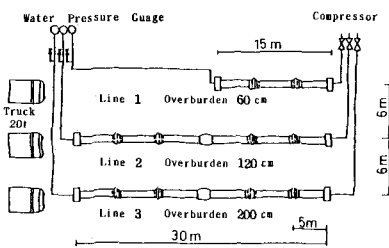


Fig.-1. Arrangement of Buried Pipes

Sampling position (m)	Columnar section	Soil type	Depth (m)	Standard penetration test	
				Depth (m)	N value
1	CL	GP	0.80	1.00	6
2				2.00	4
3				3.00	9
4		SM		4.00	6
5				5.00	7
6			6.50	6.00	5
7				7.00	6
8		ML		8.00	7
9				9.00	8
29	CL	GM	25.25	25.25	50

Fig.-2. Soil Properties

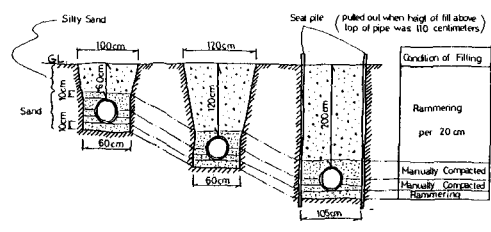


Fig.-3. Condition of Filling

$$W_m = C_d \gamma B_d^2$$

(1)

たたし

$$C_d = \frac{1 - e^{-K(H/B_d)}}{K}$$

ここで W_m : Marston の理論における管の単位長あたりの土圧
 C_d : 荷重係数, H : 土かぶり, B_d : 溝幅
 γ : 埋めもじし土の単位体積重量
 K : 土圧係数

一方、「技術基準」式における土圧計算は通常の場合

$$W_s = \gamma H B_c$$

(2)

ここで W_s : 「技術基準」式における管の単位長あたりの土圧
 B_c : 管の外径

であり Fig.-4., Fig.-5. に実測土圧および(1),(2)式による計算値を示した。

土圧による円周方向応力

一般に土圧による円周方向応力を求めるには Spangler の理論によることのが用いられ、「技術基準」における Spangler の理論による計算式が用いられる。その式は

$$\sigma = \frac{D_e K_b W R E I}{E I + 0.061 k_h R^4 + 2 p_c D_e K_x R^3} \cdot \frac{1}{Z} \quad (3)$$

ここで σ : 円周方向応力

D_e : たわみ時間係数, E : マング係数

K_b, K_x : 基床の状況による係数

W : 管の単位長あたりの土圧

k_h : 埋めもじし土の水平方向地盤反力係数

I : 管壁の管軸方向単位長あたりの断面二次モーメント

R : 管の半径 p_c : 内圧

Z : 管壁の管軸方向単位長あたりの断面係数

であり Fig.-6., Fig.-7. に実測の周方向応力および(3)式における W と W_m または W_s を用いた場合の計算値を示した。

以上より水道用などに用いられる塩化ビニルパイプのようすたわみ性管では外力に Marston の理論によるものを用いた計算が、作用する土圧からびに生ずる応力をよく表わしていく。

(参考文献) 「石油パイプライン事業の事業用施設の技術上の基準の細目を定めた告示」
 通産・運輸・建設・自治各省告示第一号, 昭和48年9月

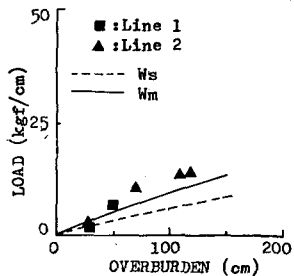


Fig.-4. Relationship between Overburden & Load

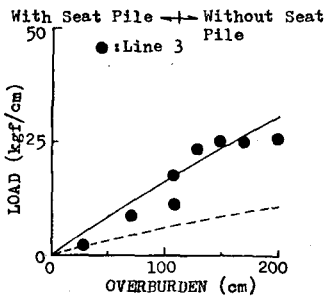


Fig.-5. Relationship between Overburden & Load

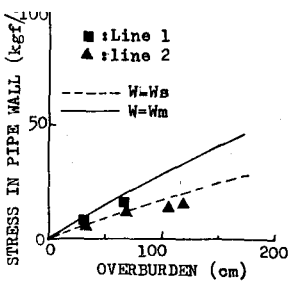


Fig.-6. Relationship between Overburden & Stress

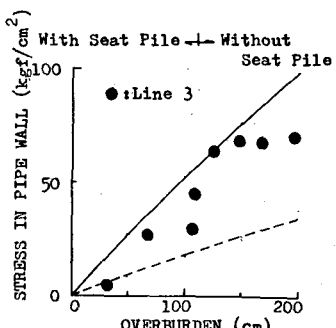


Fig.-7. Relationship between Overburden & Stress